

مطالعه و مدل‌سازی شرایط تشکیل هیدرات اتان در حضور بهبود دهندهٔ ترمودینامیکی تراهیدروفوران

حسن پهلوان‌زاده^{*}، علی فرهودی، احمد آمرئی

دانشکده مهندسی شیمی، دانشگاه تربیت مدرس، تهران، ایران

چکیده: در این پژوهش، از مدل ترمودینامیکی ساده و دقیق برای پیش‌بینی نمودارهای فازی دما - فشار هیدرات گاز اتان بدون افزودنی و همچنین گاز اتان در حضور افزودنی محلول در آب تراهیدروفوران (THF) با سه غาصلت ۵، ۸ و ۱۰ درصد مولی استفاده شد. این مدل بر مبنای برابری فوگاسیته در فازهای مایع و هیدرات می‌باشد. از نظریه واندروالس - پلاتیو برای بیان فوگاسیتهٔ فاز هیدرات، مدل توزیع گروهی UNIFAC برای محاسبه فوگاسیتهٔ آب در فاز مایع و برای فوگاسیتهٔ فاز گاز از معادلهٔ حالت‌های PR و SRK استفاده شد. در بخش عملی با استفاده از دستگاه آزمایشگاهی، شرایط تعادلی دما و فشار برای تشکیل هیدرات گاز اتان در حضور و بدون حضور بهبود دهندهٔ محلول در آب THF به دست آمد. نتیجه‌های به دست آمده از مدل با نتیجه‌های آزمایشگاهی مقایسه و دقت مدل مورد ارزیابی قرار گرفت. توافق خوبی بین داده‌های آزمایشگاهی و مدل‌سازی به دست آمد. میانگین درصد خطای مطلق در سامانه‌های اتان خالص با دو معادلهٔ حالت SRK و PR، به ترتیب ۰،۹۲٪ و ۱،۴۵٪ و آب + اتان + تراهیدروفوران با دو معادلهٔ حالت SRK و PR، به ترتیب ۷،۲۹۹٪ و ۷،۴۲٪ می‌باشند.

واژه‌های کلیدی: هیدرات؛ گاز اتان؛ بهبود دهندهٔ ترمودینامیکی؛ تراهیدروفوران؛ دما و فشار تعادلی؛ مدل‌سازی.

KEYWORDS: Hydrate; Ethane; THF; Modeling; Hydrate equilibrium point; Thermodynamic promoter.

مقدمه

نقش ترمودینامیک هیدرات در جلوگیری از تشکیل هیدرات خطوط لوله انتقال، انتقال گاز طبیعی به کمک هیدرات و کشف و استخراج ذخیره‌های هیدرات گاز طبیعی دانست. به دلیل محدودیت در به دست آوردن داده‌های آزمایشگاهی، مطالعه بر روی مدل‌های ترمودینامیکی پیش‌بینی رفتار فازی هیدرات بسیار مهم است [۱]. هیدرات گازی برای تشکیل، به فشار بالا و دمای پایین نیاز دارد که افزودن مقدار کمی افزودنی‌های ویژه باعث تشکیل هیدرات در فشارهای پایین‌تر و دمای‌های بالاتر می‌شود. برای بهبود بخشیدن به شرایط تشکیل هیدرات، می‌توان

هیدرات گازی، جامدی کربستالی شبیه به یخ است که ساختاری منظم از مولکول‌های آب و مولکول‌های کوچک گازی دارد. تشکیل هیدرات نیازمند شریط خاصی است. به طور کلی چهار عامل را لازمهٔ تشکیل هیدرات می‌دانند. حضور مقدار مناسب آب، حضور مولکول‌های گازی که توانایی تشکیل هیدرات را دارند و شرایط دما و فشار مناسب (دمای کم و فشار زیاد) چهار شرط لازم هستند. بررسی ترمودینامیکی شرایط تشکیل هیدرات امروزه از اهمیت بسیاری برخوردار است. علت این امر را می‌توان کاربرد هیدرات در به دام انداختن CO₂ در کف اقیانوس‌ها،

+E-mail: pahlavzh@modares.ac.ir

*عهده دار مکاتبات

همچنین روستا و همکاران در سال ۱۳۹۰ به بررسی تشکیل کرین دی اکسید در حضور بهبود دهنده های سدیم دودسیل سولفات و تتراهیدروفوران پرداختند و این نتیجه به دست آمد که حضور ۲ درصد مولی تتراهیدروفوران به میزان قابل دیدن فشار تشکیل هیدرات را کاهش می دهد [۶].

در سال ۱۳۹۰ صفوی و همکاران به بررسی پایداری هیدرات متان در شرایط گوناگون دما و فشار پرداختند [۷].

در کار دیگر، محمدی و همکاران ۲۰۱۱ میلادی بررسی کردند که حضور افزودنی های سیکلوبیتان، سیکلوهگزان و متیل سیکلوهگزان که به عنوان تشکیل دهنده های هیدرات سنگین شناخته می شوند، سبب بهبود تشکیل هیدرات اتان می شود. تأثیر بهبوددهنگی این افزودنی ها بر روی تشکیل هیدرات اتان، در مقایسه با اثر آن بر روی گازهای دیگر مثل نیتروژن، متان، کرbin دی اکسید و هیدروژن سولفید کمتر است [۸].

در سال ۲۰۱۲ میلادی پایابی بر روی شرایط تشکیل هیدرات گازی متان، کرbin دی اکسید، نیتروژن و هیدروژن در حضور بهبود دهنده های تتراهیدروفوران، ۱ و ۴- دی اکسان، ۱ و ۳- دی اکسالان و استون بررسی کردند. در این مطالعه مدل ترمودینامیکی که برای پیش بینی شرایط تشکیل هیدرات در حضور بهبود دهنده های آبی محلول در آب انجام شد، برای محاسبه فوگاسیتهای آب در فاز هیدرات بر اساس مدل UNIFAC واندروالس پلاتیو صورت گرفته است و از معادله UNIFAC برای محاسبه ضریب فعالیت آب و بهبود دهنده در فاز محلول استفاده شده است. در این پژوهش انحراف (AAD%) ۱۰٪ از مدل را نشان می دهد [۹].

در سال ۲۰۱۲ میلادی پهلوان‌زاده بر روی مدل ترمودینامیکی برای پیش بینی شرایط دما و فشار هیدرات متان، کرbin دی اکسید و نیتروژن در حضور بهبود دهنده های محلول در آب ارایه شده است. مدلی که استفاده شده است از برابری فوگاسیتهای آب در فاز مایع و در فاز هیدرات به دست می آید. در این مدل از نظریه واندروالس - پلاتیو برای به دست آوردن فوگاسیتهای آب در فاز هیدرات استفاده می شود و از مدل UNIFAC برای پیدا کردن فوگاسیتهای آب، THF و ۱ و ۴- دی اکسان در فاز محلول استفاده می شود از معادلهی حالت PR برای به دست آوردن فوگاسیته در فاز گاز استفاده می شود و فرض شده است که فاز گاز خالص باشد. نتیجه های به دست آمده تطابق خوبی با نتیجه های آزمایشگاهی دارد [۱۰].

از ترکیب های محلول در آب استفاده نمود . برخی از این ترکیب های محلول در آب، مانند تتراهیدروفوران (THF)، ۱ و ۴- دی اکسان (1,4-Dioxane)، ۱ و ۳- دی اکسان (1,3-Dioxane)، ۱ و ۳- دی اکسالان (1,3-Dioxalane)، استون و فوران (Furane) هستند که در حضور گاز اتان ساختار II را تشکیل می دهند در حالی که اتان خالص تشکیل هیدرات با ساختار I را می دهد. این بهبود دهنده های ترمودینامیکی محلول در آب فشار تعادلی تشکیل هیدرات را کاهش و دمای تعادلی آن را افزایش می دهند که این بهبود دهنگی به غلظت اولیه محلول آبی این ترکیب ها بستگی دارد [۲].

در سال ۲۰۱۴ میلادی مائیکاوا بر روی شرایط تعادل تشکیل هیدرات گازی از کرbin دی اکسید و اتان در محلول های آبی از ۱ و ۴- دی اکسان و ۱ و ۳- دی اکسالان به صورت تجربی با استفاده از روش هم حجم انجام شد. افزودن ۱ و ۴- دی اکسان و ۱ و ۳- دی اکسالان به آب در حضور کرbin دی اکسید شرایط تعادلی هیدرات را به دمایی بالاتر جا به جا نمود و به عنوان بهبود دهنده عمل کرده است. این در حالی است که افزودن همین مواد به گاز اتان در فشارهای خاصی به عنوان بهبود دهنده عمل نموده و در فشارهای دیگر خاصیت بازدارندگی از خود نشان داده است [۳]. این ترکیب ها از نظر ترمودینامیکی، تشکیل هیدرات را در دمایی بالاتر امکان پذیر می نمایند.

حضور THF در فاز آبی تشکیل هیدرات باعث می شود در هنگام تشکیل هیدرات، خود به عنوان مهمان درون حفره ها تشکیل شده وارد شود [۴].

پژوهشی بر روی ترمودینامیک تشکیل هیدرات اتان در حضور افزودنی THF به عنوان بهبوددهنده، ارایه نشده است. به طور کلی، تنها در پژوهش های اندکی بر روی تشکیل هیدرات اتان در حضور افزودنی سیتیکی SDS، بحث شده است. در کار کانگ در ۲۰۰۱ میلادی، تتراهیدروفوران به عنوان بهبود دهنده برای تشکیل هیدرات گازهای CO_2 ، N_2 و O_2 و نیز ترکیب این گازها، بررسی شده است و گفته شده که این افزودنی می تواند فشار تشکیل هیدرات را به شدت کاهش دهد و سرعت سیتیک را بهبود می دهد. اترهای حلقوی، هیدرات های ساده را در حضور آب یا هیدرات های مخلوط با گازهای با وزن مولکولی کم همچون CO_2 ، CH_4 و N_2 ، تشکیل می دهند. THF هیدرات با ساختار II را تشکیل می دهد که در آن، مولکول های THF تنها حفره ها (تله های) بزرگ تر را در خوشی هیدرات اشغال می کند [۵].

می باشد چرا که فشار بخار آب خیلی کم است. در ضریب پوینتینگ معادله بالا، فرض می شود حجم مولی آب در شبکه هیدرات خالی، v_w^{MT} ، مستقل از فشار است. بنابراین معادله (۳) را به صورت معادله (۴) می توان نوشت:

$$f_w^{MT} = f_w^{MT} \exp\left(\frac{v_w^{MT}(P - P_w^{MT})}{RT}\right) \quad (4)$$

اختلاف پتانسیل شیمیایی آب در حالت پر شده درون حفره های شبکه و در حالت خالی $\Delta \mu_w^{MT-H}$ طبق مدل وندروالس - پلاتیو به صورت معادله (۵) بیان می شود [۱۲]:

$$\frac{\mu_w^H - \mu_w^{MT}}{RT} = \left[\sum_i \vartheta_i \cdot \ln \left(\sum_k Y_{ki} \right) \right] \quad (5)$$

که ϑ_i تعداد حفرات نوع i در مولکول آب در واحد سل هیدرات است و Y_{ki} (جزء اشغال حفره هیدرات نوع i توسط مولکول گاز اتان) با استفاده از معادله (۶) بیان می شود [۱۲]:

$$Y_{ki} = \frac{C_{ki} f_k}{1 + \sum_k C_{ki} f_k} \quad (6)$$

که f_k ثابت لانگمویر می باشد. با جایگذاری معادلات فوق معادله (۷) به دست می آید:

$$\frac{\mu_w^H - \mu_w^{MT}}{RT} = \sum_i \ln \left(1 + C_{ki} f_k \right)^{-\vartheta_i} \quad (7)$$

در هیدرات گازی اتان که از بهبوددهنده ترمودینامیکی تراهیدرو فوران استفاده می شود، ساختار II تشکیل می شود، حفره بزرگ C_1 توسط بهبود دهنده ترمودینامیکی و مولکول های گاز اتان اشغال می شود.

$$\frac{\mu_w^H - \mu_w^{MT}}{RT} = \ln \left[\left(1 + C_g f_g^G + C_p f_p^L \right)^{-\vartheta_{large}} \right] \quad (8)$$

فوگاسیتهای بهبوددهنده ترمودینامیکی در فاز آبی f_p^L به وسیله معادله (۹) بیان می شود:

$$f_p^L = x_p^L \gamma_p P_p^{sat} \exp\left(\frac{v_p^L(P - P_p^{sat})}{RT}\right) \quad (9)$$

بالانویس P_p^{sat} برای بیان شرایط اشباع و x_p^L ، γ_p و v_p^L به ترتیب نمایانگر جزء مولی بهبوددهنده در فاز آبی،

در سال ۲۰۱۳ میلادی، مرادی مدل سازی ترمودینامیکی برای توصیف رفتار فازی تشکیل هیدرات گازهای خالص متان، اتان، پروپان، کربن دی اکسید و نیتروژن و مخلوطی از آن ها را انجام دادند. ایشان فاز هیدرات را با معادله φ واندروالس پلاتیو، فاز گاز و مایع با معادله حالت PRSV2 و قوانین اختلاط واندروالس و ثابت جذب لانگمویر را با تابع پتانسیل کیهارا مدل کردند. مدل بر پایه φ برابری فوگاسیته φ آب در فاز مایع و در فاز هیدرات شکل گرفته است. میانگین انحراف مطلق (%) برای سامانه های خالص ۲۲٪ و برای سامانه های مخلوط ۳٪ گزارش شده است [۱۱].

بخش نظری مدل ترمودینامیکی

در این پژوهش، یک مدل ترمودینامیکی ساده و دقیق برای پیش بینی نمودارهای فازی دما - فشار هیدرات گاز اتان خالص و گاز اتان در حضور افزودنی محلول در آب THF ارایه شده است. این مدل بر مبنای برابری فوگاسیته φ آب در فاز های مایع و هیدرات می باشد. تئوری واندروالس - پلاتیو برای بیان فوگاسیته فاز هیدرات استفاده شده است [۱۲]. شرایط تعادل مایع - گاز - هیدرات با استفاده از برابری فوگاسیته آب در فازهای هیدرات و مایع محاسبه می شود [۱۳-۱۵]:

$$f_w^H = f_w^L \quad (1)$$

فوگاسیته آب در فاز هیدرات به اختلاف پتانسیل شیمیایی آب در حالت پر شده درون حفرات شبکه و در حالت خالی مربوط می شود که به صورت معادله (۲) بیان می شود [۱۶]:

$$f_w^H = f_w^{MT} \exp\left(\frac{-\Delta_w^{MT-H}}{RT}\right) \quad (2)$$

f فوگاسیته، بالانویس MT نمایانگر شبکه هیدرات خالی، R ثابت عمومی گاز و دما می باشند. فوگاسیته شبکه هیدرات خالی f_w^{MT} به وسیله معادله (۳) بیان می شود [۱۷]:

$$f_w^{MT} = P_w^{MT} \varphi_w^{MT} \exp \int_{P_w^{MT}}^P \left(\frac{v_w^{MT}}{RT} \right) dp \quad (3)$$

که P نمایانگر فشار، φ و v ضریب فوگاسیته و حجم مولی و P_w^{MT} فشار بخار آب در حالت شبکه خالی می باشد. ضریب فوگاسیته آب در شبکه هیدرات خالی، φ_w^{MT} ، دارای مقدار واحد

$$C_{ij} = \frac{a_{ij}}{T} \exp\left(\frac{b_{ij}}{T} + \frac{d_{ij}}{T^r}\right) \quad (14)$$

در معادله (۱۴) به فشار بخار اشباع در شبکه هیدرات خالی، P_w^{MT} برای ساختار I و II نیاز است که با استفاده از روش دارماوردهانا [۲۳] به صورت معادله‌های (۱۵) و (۱۶) بیان می‌شود:

$$P_w^{MT}(I) = \exp\left(17/44 - \frac{6003/9}{T}\right) \quad (15)$$

$$P_w^{MT}(II) = \exp\left(17/332 - \frac{6017/6}{T}\right) \quad (16)$$

که P_w^{MT} و T به ترتیب دارای واحدهای MPa و K است. مقدار v_w^{MT} برای ساختار I و II به صورت معادله‌های (۱۷) و (۱۸) بیان می‌شود [۲۴]:

$$v_w^{MT}[sI] = (11,835 + 2,217 \times 10^{-5} T + \dots) \quad (17)$$

$$2,242 \times 10^{-6} T^r) \frac{10^{-3} N_A}{N_w^{MT}} - 8,006 \times$$

$$10^{-9} P + 5,448 \times 10^{-12} P^r$$

$$v_w^{MT}[sII] = (17,13 + 2,249 \times 10^{-4} T + \dots) \quad (18)$$

$$2,013 \times 10^{-5} T^r + 1,009 \times 10^{-9} T^r) \frac{10^{-3} N_A}{N_w^{MT}} -$$

$$8,006 \times 10^{-9} P + 5,448 \times 10^{-12} P^r$$

در معادله‌های (۱۷) و (۱۸) عدد آوگادرو، N_w^{MT} تعداد مولکول‌های آب در واحد سل هیدرات و فشار بر حسب MPa می‌باشد. مدل توزیع گروهی UNIFAC برای محاسبه فوگاسیته آب در فاز مایع در حضور افزودنی THF استفاده شده است [۲۵]. فوگاسیته فاز گاز از معادلات حالت SRK و PR به دست آمده است [۲۶]. برای محاسبه ی درصد میانگین مطلق خطا^(۱) برحسب دما از معادله زیر استفاده شده است:

$$AADT\% = \frac{1}{N} \sum_{i=1}^{100} \frac{T_{calc} - T_{exp}}{T_{exp}} \quad (19)$$

بخش تجربی

مواد و روش‌های آزمایشگاهی

راکتور تشکیل هیدرات گازی، از یک لوله استیل درجه ۳۱۶ دو جداره با طول تقریبی ۲۰ cm و حجم ۷۹۰ cm^۳ ساخته شده است که تا فشار تقریبی ۱۲۰ bar مورد استفاده قرار می‌گیرد.

(۱) Average absolute deviation

ضریب اکتیویتهای بهبوددهنده در فاز آبی، فشار بخار بهبوددهنده و حجم مولی بهبوددهنده مایع است.

فوگاسیتهای آب در فاز مایع به صورت معادله (۱۰) بیان می‌شود [۱۸، ۱۹]:

$$f_w^L = x_w^L \cdot \gamma_w \cdot P_w^{sat,L} \cdot \exp\left(\frac{v_w^L (P - P_w^{sat,L})}{RT}\right) \quad (10)$$

که در آن x_w^L ، $P_w^{sat,L}$ ، v_w^L و γ_w به ترتیب جزء مولی آب در فاز مایع، فشار بخار آب، ضریب فعالیت آب و حجم مولی آب هستند. x_w^L به صورت معادله (۱۱) بیان می‌شود:

$$x_w^L = 1 - x_g^L - x_p^L \quad (11)$$

برای به دست آوردن حلایق گاز در فاز مایع x_g^L می‌توان از معادله کریچفسکی - کازارنوفسکی [۲۰] که از رابطه‌های تعادل فازی به دست می‌آید، استفاده کرد:

$$x_g^L = \frac{f_g^G}{H_{g-w} \exp\left(\frac{v_g^\infty}{RT} (P - P_w^{sat})\right)} \quad (12)$$

H_{g-w} ثابت هنری گاز در آب و بالانویس ∞ شرایط انحلال بی‌نهایت است.

با جایگذاری معادلات بالا در معادله برابری فوگاسیته (۱)، معادله (۱۳) به دست می‌آید:

$$\left[\frac{P_w^{MT} \exp\left(\frac{v_w^{MT} (P - P_w^{MT})}{RT}\right)}{x_w^L P_w^{sat} \exp\left(\frac{v_w^L (P - P_w^{sat})}{RT}\right)} \right] \times \left[\left(1 + C_{large} f_g^G + C_{large} f_p^L\right)^{-\theta_{large}} \right] - 1 = 0 \quad (13)$$

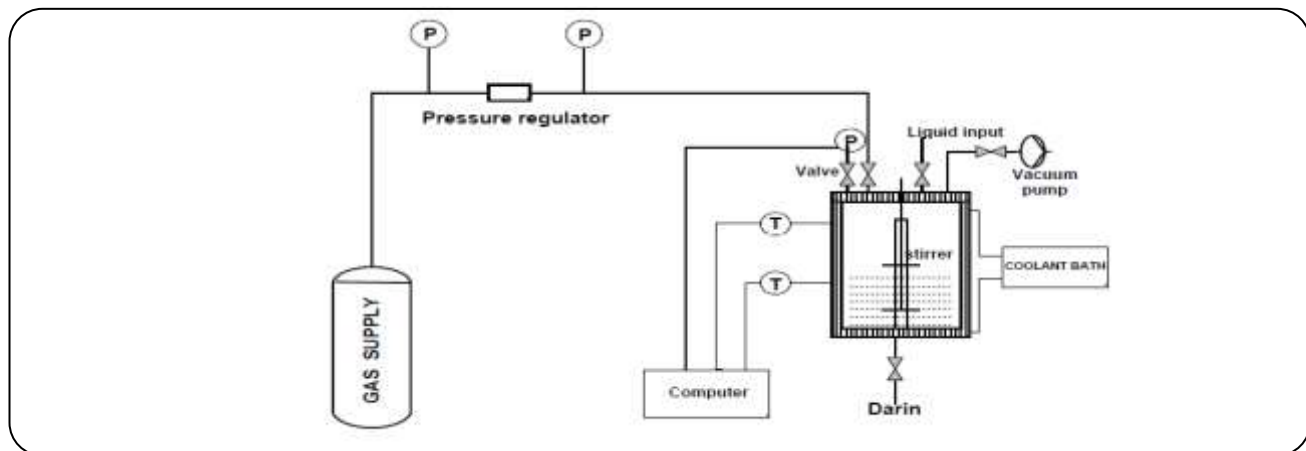
دماه تعادلی T در فشار تجزیه‌ی داده شده هیدرات P از حل معادله (۱۳) به دست می‌آید.

پارامترهای مدل ترمودینامیکی

ثابت‌های لانگمویر C_{ij} با استفاده از معادله (۱۴) [۲۰] به دست می‌آید که پارامترهای (aij, bij, dij) توسط مونک برای گازها [۲۲] و توسط ما [۲۱] برای THF در جدول ۱ گزارش شده است:

جدول ۱- پارامترهای a_{ij} , b_{ij} , d_{ij} در معادله (۱۴) برای اتان و THF [۲۱, ۲۲].

حرفره بزرگ			حرفره کوچک		سازنده هیدرات
$d_{ij} (\times 10^{-6})$ K ^۱	$b_{ij} (\times 10^{-3})$ K	$a_{ij} (\times 10^{-3})$ K/bar	b_{ij} K	$a_{ij} (\times 10^{-3})$ K/bar	
۰	۲۹۶۷	۲۴۰	۰	۰	C _۷ H _۶
۰/۰۲۸۴	۴/۹۷۹	۶/۵۶۸۹۶۱	۰	۰	THF



شکل ۱- شماتی کلی دستگاه اندازه‌گیری دما و فشار تشکیل هیدرات.

نتیجه‌ها و بحث سامانه اتان+آب

آزمایش‌ها برای سامانه آب+اتان در پنج فشار اولیه‌ی گوناگون انجام شده است و نقاط تعادلی به دست آمده با نتیجه‌های مرجع [۱] و نتیجه‌های مدل سازی مقایسه شده است.

داده‌های به دست آمده از مدل سازی با داده‌های آزمایشگاهی به دست آمده هم‌خوانی دارد و مدل توانسته روند داده‌های آزمایشگاهی را به خوبی دنبال کند. همچنین داده‌های آزمایشگاهی به دست آمده به نقطه‌های تعادلی مرجع [۱] (Deaton and Frost) نزدیک است. بیشترین اختلاف دمای به دست آمده از مدل سازی با دمای تعادلی آزمایشی در یک فشار مشخص، K ۴/۲۹۵۹ برای معادله حالت SRK و K ۴/۹۳۱۲ برای معادله حالت PR است. مقدار خطای متوسط مدل سازی دمای اتان خالص با معادله حالت SRK برابر ۰/۹۲٪ و همین مقدار با معادله حالت PR برابر ۱/۴۵٪ می‌باشد.

سامانه اتان+آب+THF

برای بررسی اثر بهبوددهنده تتراهیدروفوران بر تشکیل هیدرات اتان، محلول‌های آبی این ماده را در سه غلظت گوناگون

در درون راکتور گاز و آب در تماس قرار می‌گیرند تا هیدرات تشکیل شود و در جداره خارجی، لوله سیال مبرد جریان می‌باید تا دمای مورد نظر برای تشکیل هیدرات تامین و کنترل شود. در قسمت بالای راکتور دو ورودی برای مایع و گاز تعییه شده است و همچنین یک خروجی در کف راکتور برای خروج مایع در نظر گرفته شده است.

مواد استفاده شده در آزمایش‌ها طبق جدول ۲ می‌باشد: روش مورد استفاده در این کار، حجم ثابت است. در روش حجم ثابت هم دما و هم فشار تغییر می‌کنند و حجم راکتور ثابت است. در این روش دمای راکتور کاهش داده می‌شود و به دلیل حجم ثابت، فشار به آرامی کاهش می‌یابد و هیدرات تشکیل می‌شود. بعد از ثابت شدن فشار و تشکیل کامل هیدرات، دما به آرامی افزایش داده شده تا هیدرات تجزیه شود. هنگام تجزیه‌ی هیدرات لازم است که دما با نرخ بسیار کمی حدود ۰,۱ K/h افزایش یابد که این کار توسط سیرکولاتور صورت می‌گیرد. در نمودار دما - فشار، نقطه برخورد منحنی سرمایش و گرمایش، نقطه تجزیه هیدرات یا نقطه تعادلی تشکیل هیدرات است. این فرایند به طور معمول برای تشکیل هیدرات در فشار بالا می‌باشد.

متوسط مدل‌سازی، برای هر دو نوع معادله حالت، مربوط به غلظت $\text{THF} \approx 8\%$ است و بیشترین میزان مربوط به 10% است. معادله‌های PR و SRK، تقاضه چشمگیری در مقادیر خطای به دست آمده ندارند و نمودارهای مدل‌سازی آن‌ها به تقریب بر هم منطبق‌اند.

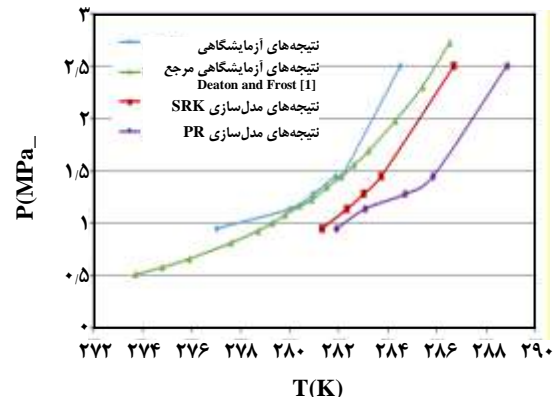
در شکل ۴ تاثیر بهبوددهنده‌ی THF بر روی شرایط تشکیل هیدراتات اتان به وضوح مشاهده می‌شود. در یک فشار مشخص، دمای تعادلی تشکیل هیدراتات در حضور THF به مقادیر محسوسی بیش‌تر از نمودار تعادلی اتان خالص است و نمودارها در غلظت 5% و 8% THF پایین‌تر از نمودار اتان خالص قرار گرفته‌اند. همچنین یک انحراف چشمگیر در نمودار تشکیل برای غلظت 10% THF دیده می‌شود به طوری که در دمای بالاتر از 277 K ، نمودار آن بالاتر از نمودار 8% THF قرار گرفته و با شیب تنیدی به نمودار اتان خالص نزدیک شده و حتی آن را قطع می‌کند. در توصیف این انحراف، می‌توان گفت که THF در غلظت 10% که مقدار بالایی هست، در دماهای بالا مانند یک بازدارنده عمل کرده است نه یک بهبود دهنده‌ی تشکیل هیدراتات. به این موضوع در مراجع نیز اشاره شده که بهبوددهنده‌های ترمودینامیکی در غلظت‌های بالا یا پایین ممکن است نقش معکوس بازی کنند [۲۷]. علت احتمالی نتیجه‌ی معکوس دادن غلظت زیاد بهبود دهنده‌های ترمودینامیکی می‌تواند این باشد که با افزایش غلظت تمامی حفره‌های هیدرات اشغال می‌شود و حضور مقدار اضافی بهبود دهنده‌ی THF در فاز محلول باعث بر هم خوردن تعادل فازی و رفتن اتان به فاز گاز شده ومانع از تشکیل هیدراتات توسط اتان شود.

نتیجه‌گیری

همان‌گونه که نتیجه‌های آزمایشگاهی نشان می‌دهند، THF به نحو محسوسی بر دما و فشار تعادلی هیدراتات اتان تأثیر پیش‌برنده داشته است به طوری که سبب شده، دمای تعادلی افزایش یافته و فشار تعادلی کاهش یابد. THF در غلظت‌های 5% و 8% مولی نقش بهبوددهنده را بازی کرده است ولی در غلظت 10% مولی، در دماهای پایین به صورت بهبود دهنده عمل کرده و فشار تعادلی را کاهش داده است، ولی با افزایش دما از روند بهبود دهنده‌گی کاسته شده و سرانجام در دماهای بالاتر از 279 K به صورت بازدارنده عمل کرده است. مدل‌سازی ترمودینامیکی شرایط تشکیل برای اتان خالص مقادیر خطای کمتری در مقایسه با سامانه‌های حاوی بهبوددهنده دارد. همچنین معادله حالت SRK برای سامانه

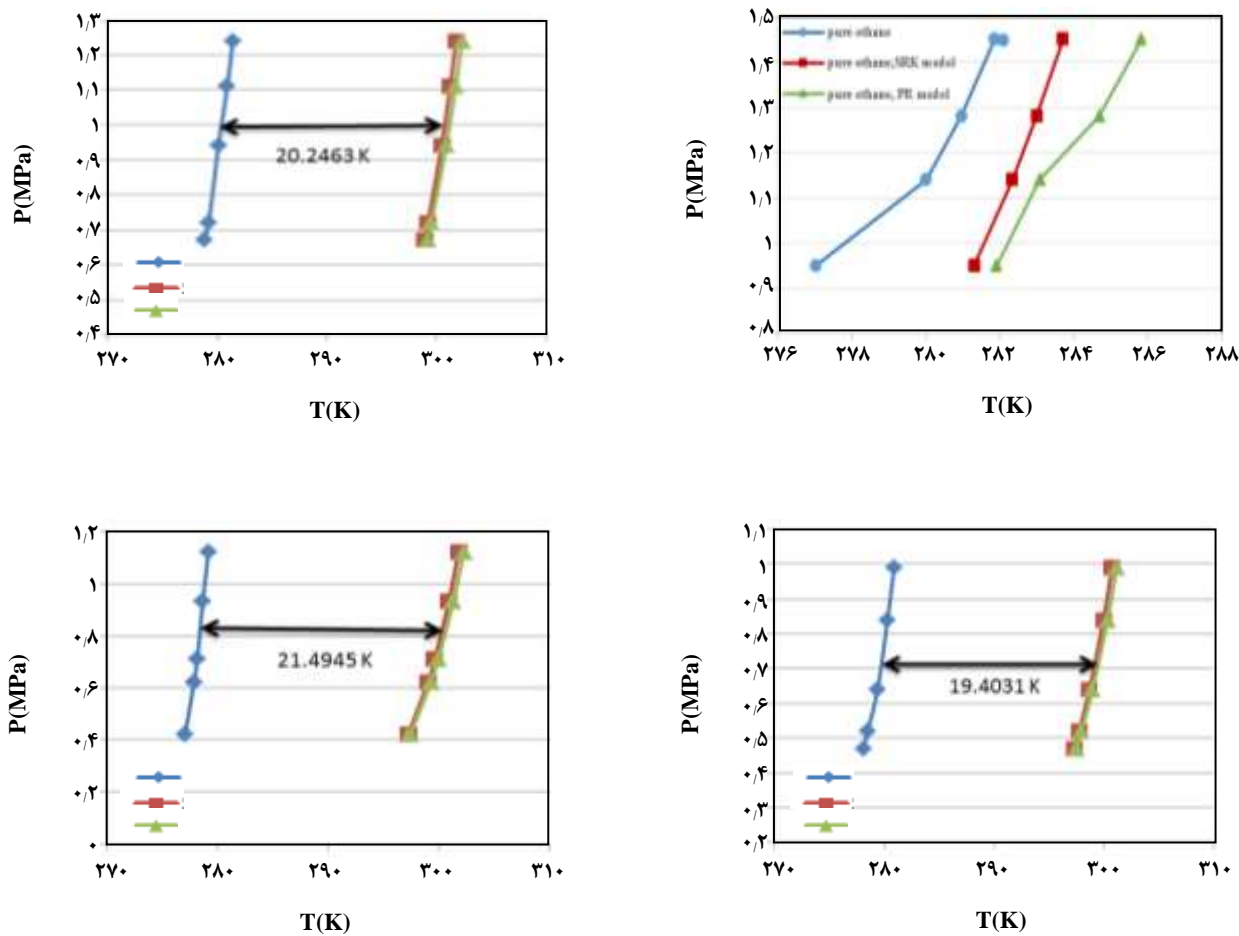
جدول ۲- ویژگی‌های مواد شیمیابی مورد استفاده در این کار.

ماده شیمیابی	شرکت تأمین کننده	خلوص %
تتراهیدروفوران	MERCK	۹۹,۵
گاز اتان	Technical gas services	۹۹,۵



شکل ۲- نمودار تعادل تشکیل هیدراتات اتان خالص.

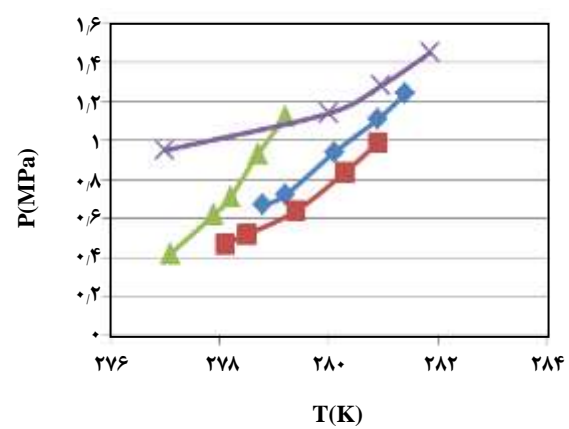
۵، ۸ و 10% مولی تهیه شده و آزمایش‌ها برای هر غلظت، در ۵ فشار اولیه‌ی گوناگون تکرار شده است برای اطمینان از درستی عملکرد داده‌ها و دستگاه آزمایشگاهی، سامانه تشکیل هیدراتات در حضور گاز اتان خالص بررسی شد و با داده‌های مرجع مقایسه شد بنابراین نیازی به تکرار آزمایش‌ها در حالت افزودن THF نمی‌باشد. با توجه به نمودارهای شکل ۳ می‌توان دید که شیب تغییرهای نمودار P-T با افزایش غلظت بهبوددهنده، افزایش می‌باشد و با یک تغییر دمای گرمایشی کوچک، فشار تعادلی نسبت به حالت خالص و نیز نسبت به غلظت پایین‌تر بهبوددهنده، افزایش بیش‌تری پیدا می‌کند. به عنوان مثال در دمای $278/8\text{ K}$ ، فشار تعادلی تشکیل هیدراتات 107 MPa در حالت اتان خالص به دست آمده، حال آنکه همین مقدار در جزء مولی 5% ، به 67 MPa درصدی رسیده است که کاهش 74% درصدی در فشار تعادلی دیده می‌شود، در غلظت 8% نیز فشار به $53/0\text{ MPa}$ درصدی رسیده است که کاهش $50/5\text{ MPa}$ در فشار دیده می‌شود و سرانجام در غلظت 10% مولی به مقدار 93 MPa درصدی رسیده است که کاهش $13/1\text{ MPa}$ در فشار تعادلی تشکیل هیدراتات دیده می‌شود. خطای مدل‌سازی در سامانه حاوی بهبوددهنده نسبت به حالت اتان خالص، مقدار بیش‌تری دارد. خطای متوسط برای مدل‌سازی در حضور بهبوددهنده برای معادله حالت SRK $7/42\%$ و برای PR $7/39\%$ است. کمترین میزان خطای



شکل ۳- نمودار شرایط تشکیل هیدرات اتان در حضور THF به دست آمده از آزمایش و مدل‌سازی با دو معادله حالت SRK و PR در حالت اتان خالص و با سه غلظت ۵، ۸ و ۱۰ درصد مولی THF.

اتان خالص پاسخگویی بهتری دارد. خطای بیشتر در مدل‌سازی در حالت حضور THF ممکن است به علت محاسبه ضریب فعالیت آب با استفاده از مدل UNIFAC به دلیل در دست نبودن اطلاعات VLE باشد در حالی که برای حالت اتان خالص مقدار ضریب فعالیت آب برابر یک در نظر گرفته شده بود. همچنین ممکن است عامل خطا به علت تصحیح‌ها و تغییرهایی که در پارامترها و ضریب‌های دیگری که در رابطه‌های آب خالص به کار می‌رود باشد که به منظور مدل‌سازی آب همراه با افزودنی صورت می‌گیرد و آب همراه با افزودنی به خوبی آب خالص مدل نشده باشد.

تاریخ دریافت: ۱۳۹۶/۳/۱۲؛ تاریخ پذیرش: ۱۳۹۶/۷/۳



شکل ۴- نقطه‌های تعادلی آزمایشگاهی تشکیل هیدرات اتان در حالت اتان خالص و در سه غلظت گوناگون ۵، ۸ و ۱۰٪ مولی بهودهندی THF.

مراجع

- [1] Sloan Jr E.D., Koh C., "Clathrate Hydrates of Natural Gases", CRC Press (2007).
- [2] کیشان رودباری، سارا؛ پهلوان‌زاده، حسن؛ "بررسی شرایط ترمودینامیکی تشکیل هیدرات کربن دی اکسید در حضور بھبود دهنده نمکی ترا ان بوتیل آمونیوم کلراید در غلظت بالا"، دویزن همايش ملی هیدرات گازی ایران، دانشکده مهندسی شیمی و نفت و گاز دانشگاه سمنان، انجمن مهندسی شیمی ایران، (۱۳۹۲).
- [3] Maekawa T., Equilibrium Conditions of Clathrate Hydrates Formed from Carbon Dioxide and Aqueous Acetone solutions, *Fluid Phase Equilibria*, **303**(1): 76-79 (2011).
- [4] Seo Y.-T., Kang S.-P., Lee H., Experimental Determination and Thermodynamic Modeling of Methane and Nitrogen Hydrates in the Presence of THF, Propylene Oxide, 1, 4-Dioxane and Acetone, *Fluid Phase Equilibria*, **189**(1): 99-110 (2001).
- [5] Kang S.-P., Lee H., Lee C.-S., Sung W.-M., Hydrate Phase Equilibria of the Guest Mixtures Containing CO₂, N₂ and Tetrahydrofuran, *Fluid Phase Equilibria*, **185**(1): 101-109 (2001).
- [6] رosta, هادی؛ ورامینیان، فرشاد؛ خوش آرای، شاهین؛ "بررسی سینتیکی و ترمودینامیکی تشکیل هیدرات CO₂ و ایجاد شرایط آسان برای تشکیل هیدرات CO₂", اولین همايش ملی هیدرات گازی ایران، تهران، دانشگاه صنعتی شریف، انجمن مهندسی شیمی ایران، (۱۳۹۰).
- [7] موسوی صفوی، سید محمد؛ منطقیان، مهرداد؛ وفائی سفتی، محسن؛ بررسی پایداری هیدرات متان در شرایط مختلف دما و فشار، نشریه شیمی و مهندسی شیمی ایران، (۱۳۹۰: ۶۳ تا ۷۰).
- [8] Mohammadi A.H., Richon D., Phase Equilibria of Binary Clathrate Hydrates of Nitrogen+ Cyclopentane/Cyclohexane/Methyl Cyclohexane and Ethane+ Cyclopentane/Cyclohexane/Methyl Cyclohexane, *Chemical Engineering Science*, **66**(20): 4936-4940 (2011).
- [9] Babaee S., Hashemi H., Javanmardi J., Eslamimanesh A., Mohammadi A.H., Thermodynamic Model for Prediction of Phase Equilibria of Clathrate Hydrates of Hydrogen with Different Alkanes, Alkenes, Alkynes, Cycloalkanes or Cycloalkene, *Fluid Phase Equilibria*, **336**: 71-78 (2012).
- [10] Pahlavanzadeh H., Kamran-Pirzaman A., Mohammadi A.H., Thermodynamic Modeling of Pressure-Temperature Phase Diagrams of Binary Clathrate Hydrates of Methane, Carbon Dioxide or Nitrogen+Tetrahydrofuran, 1, 4-Dioxane or Acetone, *Fluid Phase Equilibria*, **320**: 32-37 (2012).
- [11] Moradi G., Khosravani E., Modeling of Hydrate Formation Conditions for CH₄, C₂H₆, C₃H₈, N₂, CO₂ and Their Mixtures Using the PRSV2 Equation of State and Obtaining the Kihara Potential Parameters for These Components, *Fluid Phase Equilibria*, **338**: 179-187 (2013).
- [12] Van der Waals J., Platteeuw J., Clathrate Solutions, *Advances in Chemical Physics*, **2**: 1-57 (2007).

- [13] Mohammadi A.H., Eslamimanesh A., Richon D., Gharagheizi F., Yazdizadeh M., Javanmardi J., Hashemi H., Zarifi M., Babaee S., Gas Hydrate Phase Equilibrium in Porous Media: Mathematical Modeling and Correlation, *Industrial & Engineering Chemistry Research*, **51**(2): 1062-1072 (2011).
- [14] Eslamimanesh A., Mohammadi A.H., Richon D., Thermodynamic Consistency Test for Experimental Solubility Data in Carbon Dioxide/Methane+ Water System Inside and Outside Gas Hydrate Formation Region, *Journal of Chemical & Engineering Data*, **56**(4): 1573-1586 (2011).
- [15] Tumba K., Reddy P., Naidoo P., Ramjugernath D., Eslamimanesh A., Mohammadi A.H., Richon D., Phase Equilibria of Methane and Carbon Dioxide Clathrate Hydrates in the Presence of Aqueous Solutions of Tributylmethylphosphonium Methylsulfate Ionic Liquid, *Journal of Chemical & Engineering Data*, **56**(9): 3620-3629 (2011).
- [16] Anderson F., Prausnitz J., Inhibition of Gas Hydrates by Methanol, *AICHE Journal*, **32**(8): 1321-1333 (1986).
- [17] Mohammadi A.H., Richon D., Thermodynamic Model for Predicting Liquid Water-Hydrate Equilibrium of the Water-Hydrocarbon System, *Industrial & Engineering Chemistry Research*, **47**(4): 1346-1350 (2008).
- [18] Poling B.E., Prausnitz J.M., John Paul O.C., Reid R.C., *The Properties of Gases and Liquids*, Vol. 5. McGraw-Hill New York (2001).
- [19] Prausnitz J., Lichtenhaler R., Azevedo E.D., "Molecular Thermodynamics of Fluidphase Equilibria", Prentice Hall PTR, Upper Saddle River, New Jersey (1999).
- [20] Krichevsky I., Kasarnovsky J., Thermodynamical Calculations of Solubilities of Nitrogen and Hydrogen in Water at High Pressures, *Journal of the American Chemical Society*, **57**(11): 2168-2171 (1935).
- [21] Ma Q.-L., Chen G.-J., Ma C.-F., Zhang L.-W., Study of Vapor-Hydrate Two-Phase Equilibria, *Fluid Phase Equilibria*, **265**(1): 84-93 (2008).
- [22] Munck J., Skjold-Jørgensen S., Rasmussen P., Computations of the Formation of Gas Hydrates, *Chemical Engineering Science*, **43**(10): 2661-2672 (1988).
- [23] Dharmawardhana P., Parrish W., Sloan E., Experimental Thermodynamic Parameters for the Prediction of Natural Gas Hydrate Dissociation Conditions, *Industrial & Engineering Chemistry Fundamentals*, **19**(4): 410-414 (1980).
- [24] Klauda J.B., Sandler S.I., A Fugacity Model for Gas Hydrate Phase Equilibria, *Industrial & Engineering Chemistry Research*, **39**(9): 3377-3386 (2000).
- [25] Fredenslund A., Jones R.L., Prausnitz J.M., Group-Contribution Estimation of Activity Coefficients in Nonideal Liquid Mixtures, *AICHE Journal*, **21**(6): 1086-1099 (1975).
- [26] Peng D.-Y., Robinson D.B., A New Two-Constant Equation of State, *Industrial & Engineering Chemistry Fundamentals*, **15**(1): 59-64 (1976).

- [27] Jager M., De Deugd R., Peters C., de Swaan Arons J., Sloan E., Experimental Determination and Modeling of Structure II Hydrates in Mixtures of Methane + Water + 1, 4-Dioxane, *Fluid Phase Equilibria*, **165**(2): 209-223 (1999).